

РОЛЬ МАГНЕТИЗМА В ФОРМИРОВАНИИ БЛИЖНЕГО ПОРЯДКА В СПЛАВАХ ЖЕЛЕЗО–КРЕМНИЙ

O. И. Горбатов^a, А. Р. Кузнецов^{a,b}, Ю. Н. Горностырев^{a,b}, А. В. Рубан^{c},
Н. В. Ершов^b, В. А. Лукшина^{b**}, Ю. П. Черненков^d, В. И. Федоров^d*

^a Институт квантового материаловедения
620107, Екатеринбург, Россия

^b Институт физики металлов Уральского отделения Российской академии наук
620990, Екатеринбург, Россия

^c Royal Institute of Technology (KTH)
SE-10044, Stockholm, Sweden

^d Петербургский институт ядерной физики им. Б. П. Константинова Российской академии наук
188300, Гатчина, Ленинградская обл., Россия

Поступила в редакцию 30 июля 2010 г.

Формирование ближнего порядка в магнитомягких сплавах Fe–Si в зависимости от температуры отжига исследовано теоретически и экспериментально. Ближний порядок типа B2 наблюдается в образцах, закаленных от температур $T > T_C$ (T_C — температура Кюри) с концентрацией c_{Si} , близкой к границе двухфазной области. Отжиг при температурах $T < T_C$ и концентрации $c_{\text{Si}} \geq 0.08$ приводит к увеличению относительной доли областей с ближним порядком DO₃. Механизм формирования ближнего порядка в твердых растворах Fe–Si исследован моделированием методом Монте-Карло с использованием рассчитанных *ab initio* параметров межатомных взаимодействий. Показано, что энергия эффективного Si–Si-взаимодействия в ОЦК-железе существенно зависит от магнитного состояния матрицы. В результате, ближний порядок типа B2 формируется при $T > T_C$ и фиксируется при закалке, в то время как в ферромагнитном состоянии равновесным является ближний порядок типа DO₃. Полученные результаты выявляют определяющую роль магнетизма в формировании ближнего порядка в Fe–Si и позволяют объяснить наблюдаемые экспериментально структурные особенности сплава в зависимости от состава и температуры.

1. ВВЕДЕНИЕ

Магнитомягкие сплавы Fe–Si интенсивно исследуются на протяжении многих лет в связи с их широким практическим применением в электротехнике [1–3]. Особый интерес вызывают сплавы с концентрацией кремния, близкой к границе двухфазной области (6–10 ат. %), в которых термообработка в магнитном поле или под действием механических напряжений приводит к формированию состояния с наведенной магнитной анизотропией [4–6]. Существующие экспериментальные факты указывают на то, что наведенная внешним воздействием магнит-

ная анизотропия обусловлена особым типом ближнего порядка, формирующегося в сплаве при термо-механической или термомагнитной обработке [7–9]. Поэтому вопрос о формировании ближнего порядка в сплаве Fe–Si, его изменении с температурой или в процессе отжига оказывается ключевым для проблемы наведенной магнитной анизотропии. Однако механизм этого явления по-прежнему остается предметом дискуссий (см., например, работу [10]).

Известно, что сплав Fe–Si с содержанием кремния 6–10 ат. % может находиться в состоянии с ближним атомным порядком, которое с увеличением концентрации сменяется фазами с дальним порядком типа DO₃ при $T < 600^\circ\text{C}$ или B2 при $T > 700^\circ\text{C}$ (см. диаграмму на рис. 1 [11]). Так, в работе [12] мето-

*A. V. Ruban

**E-mail: lukshina@imp.uran.ru

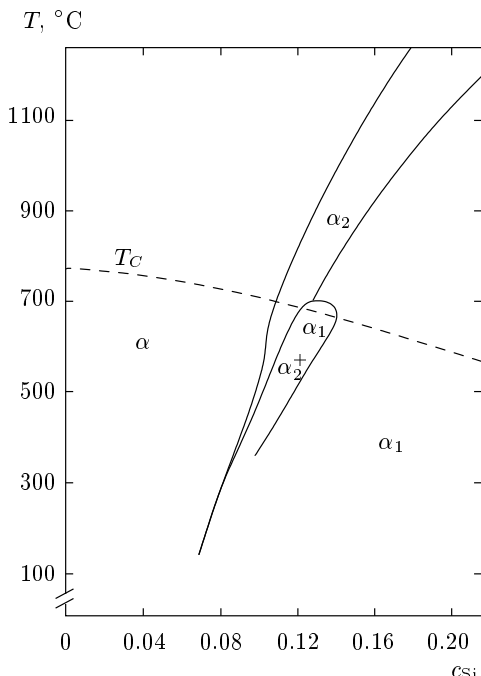


Рис. 1. Богатая железом часть фазовой диаграммы сплавов Fe–Si (данные работы [11]), γ -фаза не показана. Штриховой линией отмечена температура Кюри — T_C . Фазы α , α_1 , α_2 соответствуют кристаллографическим структурам A2, DO_3 , B2

дом электронной просвечивающей микроскопии показано, что при содержании 8 ат. % кремния сплав представляет собой неупорядоченный твердый раствор, а в сплаве с 15.5 ат. % кремния во время отжига при температурах 550 °C и 650 °C формируются области с составом Fe_3Si , имеющие структуру DO_3 . Области со сверхструктурой B2 появляются после отжига при температуре не менее 700 °C.

В работах [13, 14] методом дифракции нейтронов показано, что вплоть до $T = 600^\circ\text{C}$ в сплаве железа с 6.1 ат. % кремния реализуется ближний порядок типа DO_3 , а при концентрациях кремния $c_{\text{Si}} \geq 7.6$ ат. % появляются домены упорядоченной DO_3 -фазы; порядок B2 не обнаружен ни в одном из образцов при всех исследованных значениях температур. Результаты мессбауэровской спектроскопии также свидетельствуют об образовании локально DO_3 -упорядоченных областей, которые сменяются на области с ближним порядком B2 при увеличении концентрации кремния от 7 до 10 ат. % [15]. Наблюдаемые особенности диффузного рассеяния указывают на то, что уже при 5–6 ат. % кремния [7, 8] в сплаве присутствуют кластеры размером 0.5–0.9 нм, сочетающие в себе химическое упорядо-

чение B2-типа и локальный порядок атомных смещений. Методами ЯГР-спектроскопии и рентгеновской дифракции установлено [16, 17], что в закаленном от $T = 850^\circ\text{C}$ сплаве с концентрацией кремния 5–8 ат. %, присутствуют области с ближним порядком B2-типа. При этом ближнее расслоение сохраняется и после сильной пластической деформации (сдвиг под давлением) [16].

Тот факт, что смена типа химического порядка происходит при температуре, близкой к температуре Кюри T_C , указывает на существенную роль магнетизма в формировании структурного состояния сплава Fe–Si. Согласно существующим представлениям [18], учет обменного взаимодействия в свободной энергии сплава может привести к дополнительным особенностям на фазовой диаграмме. Однако не ясно, почему при повышенных температурах, $T > T_C$, реализуется состояние, в котором атомы кремния находятся в положении более близких соседей (сверхструктура B2), чем при $T < T_C$ (сверхструктура DO_3), и почему ближний порядок типа B2 сохраняется при охлаждении до комнатной температуры.

В работах [19–21] методами *ab initio* были исследованы фазовая стабильность, электронная и магнитная структура соединений Fe_3Si , FeSi , FeSi_2 . Показано, что энталпия образования возможных сверхструктур Fe–Si на основе ОЦК-решетки отрицательна и имеет наименьшее значение для FeSi B2-типа [20]. Такой результат согласуется с тем, что сверхструктура B2 на фазовой диаграмме реализуется в области более высоких температур, чем DO_3 (Fe_3Si). Согласно [21] магнитная энергия играет определяющую роль в относительной предпочтительности B2- и DO_3 -структур, что позволяет объяснить смену типа упорядочения при повышении температуры выше точки Кюри.

Для выяснения фундаментальных механизмов формирования ближнего порядка в сплавах Fe–Si необходимы расчеты *ab initio* конфигураций атомов кремния, моделирующих разбавленные твердые растворы. Расчет решеточных деформаций и магнитного момента в окрестности изолированного атома кремния в решетке ферромагнитного ОЦК-железа предпринят в работах [22, 23], полнопотенциальным зонным методом (FP LAPW) и в рамках псевдопотенциального подхода [10]. Показано, что отдельный атом кремния в позиции замещения вызывает малые искажения решетки ОЦК-железа. В работе [10] впервые проведен расчет *ab initio* энергии парного взаимодействия между атомами кремния в матрице ферромагнитного ОЦК-железа. Полученные результа-

ты позволили заключить, что образование изолированных Si–Si-пар первых или вторых соседей в ферромагнитном ОЦК-железе маловероятно, поскольку сопровождается значительным проигрышем в энергии. Поэтому механизм формирования ближнего порядка является более сложным, чем это предполагалось в работе [4], где рассматривалось направленное упорядочение Si–Si-пар вторых соседей в магнитном поле в процессе отжига при $T < T_C$.

Результаты [10] получены для ферромагнитного состояния и не могут объяснить изменение ближнего порядка в сплавах Fe–Si в зависимости от температуры и, в частности, при переходе через температуру Кюри. Чтобы ответить на вопрос о механизме формирования ближнего порядка в сплавах Fe–Si, необходимо рассчитать эффективные потенциалы Si–Si-взаимодействия для различных магнитных состояний матрицы ОЦК-железа, моделирующих как ферро-, так и парамагнитное состояние.

В настоящей работе приводятся результаты измерения интенсивности диффузного рассеяния рентгеновских лучей и его изменения в процессе отжига для образцов сплава Fe–Si с содержанием кремния 5–8 ат. %. Механизм формирования ближнего порядка теоретически изучен в рамках комплексного подхода, включающего расчет эффективных кластерных взаимодействий между атомами кремния для различных состояний матрицы ОЦК-железа и Монте-Карло-моделирование структуры сплава при различных температурах. Полученные результаты позволяют заключить, что ближний порядок типа B2 формируется в парамагнитном состоянии и может фиксироваться при закалке, в то время как в ферромагнитном состоянии равновесным является ближний порядок типа D₀₃.

2. ДИФФУЗНОЕ РАССЕЯНИЕ В СПЛАВЕ Fe–Si ПОСЛЕ ЗАКАЛКИ И ОТЖИГА

2.1. Образцы и техника эксперимента

Объектами структурного исследования служили монокристаллические образцы сплава Fe–Si с содержанием кремния 8 ат. %, которые были вырезаны в виде тонких дисков (толщина 0.3 мм, диаметр 8–9 мм) из кристалла, выращенного по методу Бриджмена. Плоскость диска ориентировалась параллельно кристаллографической плоскости (010) (кубическая текстура), две кристаллографические оси [100] и [001] лежат в плоскости образца.

Образцы предварительно были подвергнуты рафинирующему вакуумному отжигу при температур-

ре 1050–1300 °C в течение 2–6 ч, после которого содержание углерода не превышало 0.005 вес. %. Затем с целью получения разупорядоченного состояния один образец был подвергнут закалке в воду (скорость закалки 400 °C/c) после отжига в течение 10 мин при температуре разупорядочения равной 850 °C, превышающей температуру Кюри Fe–Si-сплава $T_C = 680$ °C при содержании кремния 8 ат. % [24]. Второй образец был медленно охлажден после пяти минут отжига при температуре 450 °C, при которой в сплаве активируются диффузионные процессы [25]. После термообработок толщина образцов доводилась до оптимальной для рентгенодифракционных измерений величины 45–55 мкм механической и химической полировки.

Рентгеновские дифрактограммы измерялись при комнатной температуре в геометрии «на просвет» с помощью четырехкружного лабораторного дифрактометра в ПИЯФ РАН. Характеристическое излучение K_α ($\lambda = 0.071$ нм) рентгеновской трубки с Мо-анодом выделялось с использованием монохроматора из пиролитического графита. Рассеянное излучение регистрировалось твердотельным энергодисперсионным Si(Li)-детектором [9].

2.2. Результаты эксперимента

На рис. 2 показаны результаты измерения интенсивности диффузного рассеяния при сканировании в направлении [111] монокристаллических образцов чистого железа и сплава с содержанием кремния 5, 6 и 8 ат. %. Данные для железа и сплава с содержанием кремния 5, 6 ат. % взяты из работы [17].

Если в дифрактограмме от монокристалла железа отмечаются только две особенности (широкие максимумы) от пересечений с плоскостями теплового диффузного рассеяния [26], то в дифрактограммах образцов сплава Fe_{1-x}Si_x при $x = 0.06$ зафиксированы диффузные сверхструктурные пики ($h + k + l$ — нечетное число), которые свидетельствуют о локальном упорядочении B2-типа. Например, на рис. 2 — это широкий пик (111). При $x = 0.08$ в дифрактограммах дополнительно появляются тоже диффузные, но более узкие пики с полуцелыми индексами (0.5, 0.5, 0.5), (1.5, 1.5, 1.5) и др., свидетельствующие о появлении областей с локальным порядком D₀₃-типа. После отжига в сплаве с содержанием кремния 8 ат. % интенсивность этих сверхструктурных пиков увеличивается и, следовательно, объемная доля областей с D₀₃-типом упорядочения растет.

На рис. 3 приведены профили диффузных пиков

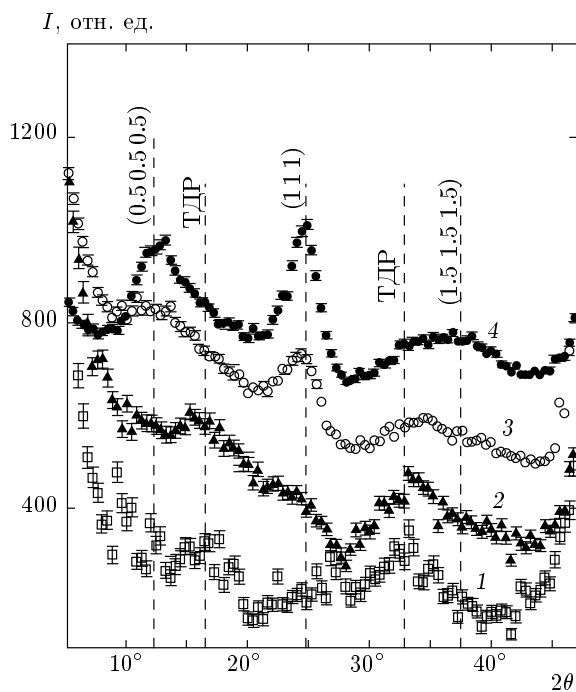


Рис. 2. Профили интенсивности рассеяния, зарегистрированные при θ - 2θ -сканировании в направлении [111] от монокристаллов: 1 — α -железа и сплава железо-кремний, 2, 3 — закаленных образцов с содержанием кремния соответственно 6, 8 ат. %, 4 — отожженного образца с содержанием кремния 8 ат. %. Вертикальными штриховыми линиями показаны расчетные положения сверхструктурных максимумов и пересечений с плоскостями теплового диффузного рассеяния (ТДР)

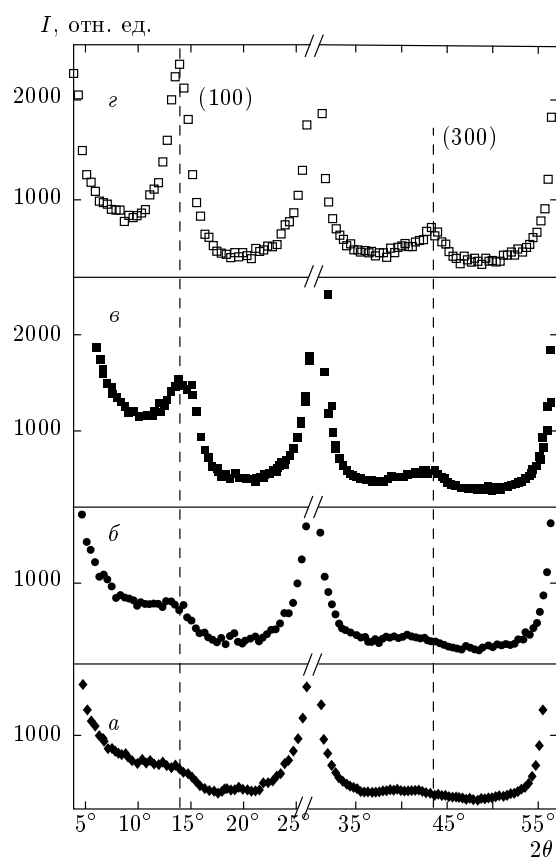


Рис. 3. Профили интенсивности рассеяния, зарегистрированные при θ - 2θ -сканировании в направлении [100], от монокристаллов сплава железо-кремний: а, б — закаленных образцов с содержанием кремния соответственно 5, 6 ат. %, в, г — закаленного и отожженного образцов с содержанием кремния 8 ат. %. Вертикальными штриховыми линиями показаны расчетные положения сверхструктурных максимумов

(100) и (300), измеренные при θ - 2θ -сканировании в направлении [100] между брэгговскими (основными) рефлексами (000)–(200) и (200)–(400), от монокристаллических образцов с разным содержанием кремния. Если образцы с содержанием кремния 8 ат. % прошли разные термообработки, то образцы с содержанием кремния 5 и 6 ат. % подвергались закалке в воду от температуры разупорядочения $T = 850^\circ\text{C}$ (данные из работы [17]).

Приведенные на рис. 3 дифрактограммы позволяют проследить изменения сверхструктурных рефлексов при увеличении концентрации кремния от 5 до 8 ат. % и влияние низкотемпературного отжига при $c_{\text{Si}} = 8$ ат. %. Нижние кривые для $c_{\text{Si}} = 5$ ат. % и $c_{\text{Si}} = 6$ ат. % практически неотличимы за исключением незначительного повышения контрастности сверхструктурных пиков (100) и (300) при увеличении содержания кремния. При содержании кремния 8 ат. % структура пиков усложняется: пик (100) ста-

новится более интенсивным, на правой стороне широкого пика (300) появляется узкая особенность. Положение ее максимума совпадает с расчетной позицией для сверхструктурного пика (300). В образце, подвергнутом низкотемпературному отжигу, дополнительная сверхструктура становится более выраженной. Поскольку усложнение сверхструктурных пиков (100) и (300) сопровождается появлением и ростом пиков с полуцелыми индексами на дифрактограммах, измеренных при сканировании вдоль направления [111] и приведенных на рис. 2, дополнительные сверхструктурные пики следует интерпретировать как вклады от небольших областей с DO_3 -упорядочением. Эти изменения происходят на фоне широких сверхструктурных рефлексов (100),

(111) и (300), характерных и для образцов сплава Fe–Si с меньшими концентрациями кремния, максимумы которых несколько смещены влево, в сторону меньших углов рассеяния.

Сверхструктурные пики с нечетной суммой индексов ($h + k + l$) интерпретируются как вклад в рассеяние от кластеров с локальным порядком B2-типа. Смещение сверхструктурных пиков в направлении меньших углов рассеяния является признаком локальных деформаций ОЦК-решетки. Поэтому структура B2-кластера может быть представлена как две состыкованные гранями B2-ячейки, окруженные растянутыми ячейками ОЦК-железа. В центре такого кластера находятся два атома кремния на расстоянии параметра ОЦК-решетки, т. е. эти атомы являются вторыми соседями друг друга. Эти кластеры имеют анизотропную форму — они более вытянуты вдоль одной из осей легкого намагничивания $\langle 100 \rangle$ [8, 17]. Методом моделирования ЯГР-спектров и их сопоставления с экспериментальными данными от образцов сплавов $Fe_{1-x}Si_x$ ($x = 0.05$ – 0.08) установлено, что значительная часть атомов кремния (около 1/3) не участвует в образовании пар Si–Si, ориентированных вдоль оси $\langle 100 \rangle$ [16]. В областях D₀₃-фазы искажения решетки не отмечаются.

Анализ данных выполнялся методом наименьших квадратов (МНК) с аппроксимацией фона, брэгговских и диффузных пиков функциями нескольких параметров. Брэгговские рефлексы хорошо подговаривались функциями Лоренца, а диффузные пики — одинаково хорошо и функциями Гаусса, и функциями Лоренца. Наибольшую проблему представляет аппроксимация фона, так как небольшая неопределенность в его описании приводит к значительным изменениям параметров диффузных пиков, таких как интенсивность в максимуме, I_{max} , положение, $2\theta_{max}$, и ширина W на полувысоте. Приводимые здесь результаты МНК-разложения были получены с использованием линейной зависимости фона рассеяния от угла 2θ . Профили пиков (300) и (003), использованные для МНК-анализа, и результаты разложения показаны на рис. 4 для образцов сплава $Fe_{1-x}Si_x$ ($x = 0.08$). Аналогичные разложения для закаленных образцов FeSi-сплавов с содержанием кремния 5 и 6 ат. % были приведены ранее [17]. Определенные в результате МНК-разложения параметры пиков и результаты оценки среднего размера упорядоченных областей (кластеров) приведены в табл. 1.

Для концентраций в диапазоне 5–8 ат. % кремния и при разных термообработках характерным общим свойством является положение и полуширина сверх-

структурных пиков (300) от кластеров B2-фазы, которые изменяются в пределах, соотносимых с погрешностями измерений: $2\theta_{max} \approx 41.4^\circ \pm 0.3^\circ$, W — от 5.5° до 7° . Ширина на полувысоте пика позволяет оценить средние размеры областей с соответствующим типом локального порядка [27]. Результаты такой оценки дают 0.6–0.75 нм или две–три ОЦК-ячейки для B2-кластеров и 1.3–2 нм для областей с ближним D₀₃-порядком. Поскольку параметр D₀₃-ячейки равен удвоенному параметру ОЦК-ячейки, средний размер D₀₃-областей соответствует трем–четырем D₀₃-ячейкам. При этом отмечаются рост объемной доли и небольшое увеличение размеров областей D₀₃-фазы в результате отжига при $T = 450^\circ\text{C}$.

Таким образом, систематическое исследование ближнего порядка методами рентгеновской дифракции и мессбауэровской спектроскопии [16, 28] показало, что в сплаве $Fe_{1-x}Si_x$ ($x = 0.08$), закаленном от $T = 850^\circ\text{C}$, области D₀₃-типа появляются и существуют с кластерами B2. При этом отжиг при $T = 450^\circ\text{C}$ увеличивает относительный объем областей D₀₃ (см. рис. 2 и 4) и долю пар атомов Si–Si, являющихся четвертыми соседями друг друга [28]. Увеличение температуры отжига приводит к уменьшению доли областей D₀₃-фазы вплоть до их полного исчезновения при температурах, превышающих температуру Кюри. Наблюдаемое изменение структурного состояния сплава $Fe_{1-x}Si_x$ ($x = 0.08$) в процессе отжига указывает на то, что ближний порядок D₀₃-типа является равновесным состоянием сплава при пониженных температурах, в то время как ближний порядок B2-типа формируется в области высоких температур и сохраняется при охлаждении.

3. МЕХАНИЗМ ФОРМИРОВАНИЯ БЛИЖНЕГО ПОРЯДКА В СПЛАВЕ Fe–Si

3.1. Метод расчета эффективных взаимодействий и кластерных конфигураций

Расчет электронной структуры и полной энергии сплава Fe–Si проводился в рамках теории функционала электронной плотности (density-functional theory, DFT) [29] в приближении когерентного потенциала (coherent potential approximation, CPA) [30] с использованием функций Грина (GF), в рамках метода Корринги–Кона–Ростокера (Korringa–Kohn–Rostoker, KKR) [31] и приближения атомных сфер (atomic sphere approximation, ASA) [32]. Приближение CPA является наиболее точным из используемых в моделях неупорядоченного

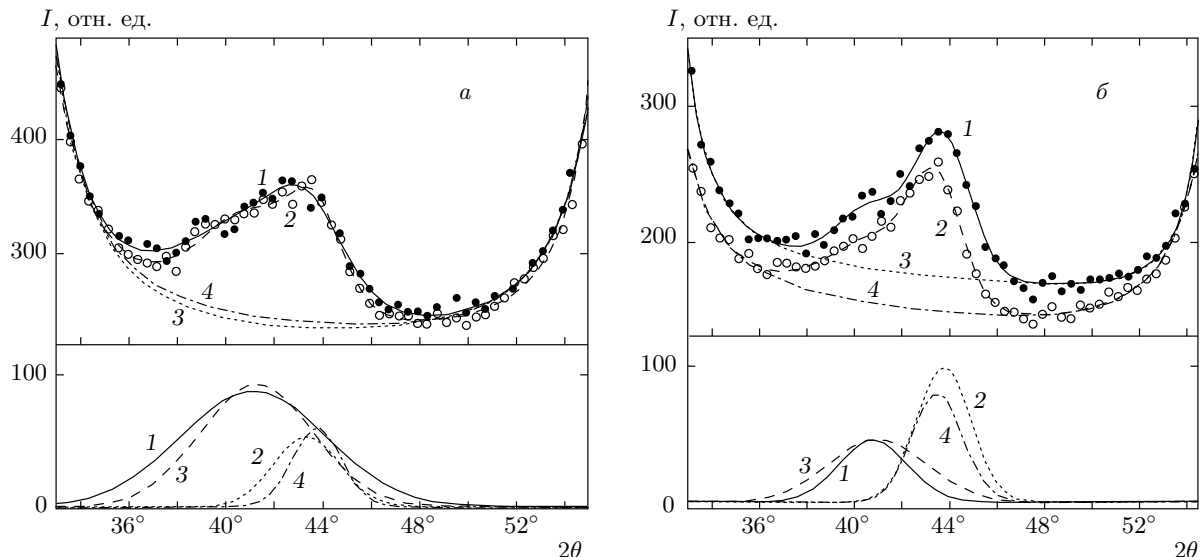


Рис. 4. Профили сверхструктурных пиков (300) и (003) (соответственно темные и светлые точки) диффузного рассеяния от монокристаллов $\text{Fe}_{1-x}\text{Si}_x$ ($x = 0.08$): *a* — после закалки от $T = 850^\circ\text{C}$, *б* — после отжига при $T = 450^\circ\text{C}$, а также результаты МНК-аппроксимации профилей пиков (300), (003) — соответственно кривые 1, 2, для фона — соответственно 3, 4. В нижних частях показаны результаты разложения для вкладов упорядоченных областей B2 (кривые 1, 3) и DO_3 (кривые 2, 4)

Таблица 1. Параметры пиков диффузного рассеяния от областей с B2- и DO_3 -типами упорядочения, выделенные в результате МНК-анализа, и оценки средних размеров кластеров

x	Термообработка	I_{max}	$2\theta_{max}$	W	Фаза	Средний размер, нм
0.05	закалка	145(16)	41.5(3)	5.8(6)	B2	0.70 ± 0.07
0.06	закалка	172(13)	41.2(2)	6.9(7)	B2	0.59 ± 0.06
0.08	закалка	88	41.1(2)	7.0(2)	B2	0.58 ± 0.02
		54	43.3(2)	3.2(2)	DO_3	1.29 ± 0.08
		93	41.2(1)	5.5(1)	B2	0.74 ± 0.02
		61	43.8(1)	2.4(1)	DO_3	1.75 ± 0.07
0.08	отжиг	170	41.4(2)	5.4(1)	B2	0.75 ± 0.01
		190	43.4(1)	2.1(1)	DO_3	2.04 ± 0.04
		150	41.7(2)	5.4(2)	B2	0.76 ± 0.02
		210	43.4(1)	2.3(1)	DO_3	1.91 ± 0.05

сплава в одноузельном приближении, в ней реальное распределение атомов в сплаве заменяется эффективной средой с определяемыми самосогласованно параметрами рассеяния электронов. Обменно-корреляционная энергия определялась в обобщенном градиентном приближении (generalized gradient approximation, GGA) [33]. Несферические поправки к одноэлектронному потенциалу и элек-

тростатической энергии Маделунга учитывались в приближении ASA+M [34].

Для определения эффективных взаимодействий использовался метод обобщенных возмущений с экранированным кулоновским взаимодействием (screened generalized perturbation method, SGPM) [35, 36]. Этот метод базируется на методе обобщенных возмущений (generalized perturbation method,

GPM) [37]. Вклад экранированных кулоновских взаимодействий в рамках одноузельного приближения учитывался в модели, предложенной в работе [38], как

$$E^{scr} = -\frac{\beta}{2} \sum_i c_i q_i V_i^{scr}, \quad V_i^{scr} = -e^2 \alpha_{scr} q_i / R_{WZ},$$

α_{scr} и β — параметры экранирования, q_i — общий заряд на координационной сфере i -го компонента, R_{WZ} — радиус Вигнера–Зейтца. Параметры экранирования были определены из сопоставления с результатами расчетов методом локально самосогласованных гриновских функций (locally self-consistent Green's function, LSGF) [39]. Для сплава Fe–Si имеем $\alpha_{scr} = 0.63$ и $\beta = 1.15$.

Основная идея GPM-метода заключается в вычислении энергии специфических конфигураций атомных кластеров в неупорядоченном сплаве по теории возмущений [35]. Важным преимуществом этого подхода является то, что он не требует использования периодических граничных условий и позволяет получать информацию о взаимодействиях любого заданного типа. Это делает весьма привлекательным его использование при исследовании дефектов и расчете эффективных кластерных взаимодействий (включая многочастичные), определяющих энергию сплава. Другим важным достоинством GPM-метода является то, что он позволяет проводить расчет как для ферромагнитного, так и для парамагнитного состояния α -Fe в приближении разупорядоченных локальных магнитных моментов (disordered local moment, DLM) [40].

Для расчета эффективных кластерных взаимодействий использовались экспериментальные значения параметра решетки. Оправданность использования экспериментального параметра решетки обсуждается в работе [35].

Для определения энергий фиксированных конфигураций примесных атомов и их взаимодействия с вакансиями использовался LSGF-метод, позволяющий точно учитывать перераспределение зарядовой плотности и проводить расчеты достаточно больших суперячеек благодаря линейному увеличению вычислительных затрат с ростом числа атомов. В этом методе каждый узел в суперячейке вместе с окружением вокруг него рассматривается самосогласованно в зоне локального взаимодействия (local interaction zone, LIZ), которая является вложенной в эффективную среду, имеющую ту же симметрию, что и исходная решетка. Параметры эффективной среды выбирались таким образом, чтобы они

в среднем описывали рассеивающие свойства системы. Чтобы исключить влияние граничных условий, в расчете использовалась достаточно большая суперячейка $6 \times 6 \times 6 (\times 2)$ (432 атома). Расчет функции Грина проводился с максимальной величиной орбитального квантового числа $l_{max} = 3$.

В рамках SGPM-подхода удается рассчитать только химический вклад в энергию эффективных кластерных взаимодействий. Для оценки вклада локальной атомной релаксации, ΔV_d , в энергию парных эффективных взаимодействий (так называемая энергия деформационного взаимодействия) был использован метод спроектированных присоединенных плоских волн (PAW) [41], реализованный в пакете VASP (Vienna Ab-initio Simulation Package [42–44]). Чтобы избежать влияния периодических граничных условий, использовалась ячейка из 256 атомов, в которой два атома железа были замещены на атомы кремния; первый располагался в узле с координатами $(0,0,0)$, а второй — в одном из узлов, принадлежащих n -й координационной сфере, на расстоянии R_n от начала координат.

Величина $\Delta V_d(R_n)$ определялась как разность энергий релаксации ΔE кристаллита с двумя атомами кремния на расстоянии R_n и удвоенной энергии релаксации одного атома кремния, $\Delta V_d(R_n) = \Delta E^{2Si}(R_n) - 2\Delta E^{Si}$. Вклад обменно-корреляционной энергии с обобщенными градиентными поправками (GGA) учитывался в форме, предложенной в работе [33] с параметризацией из работы [45]. Использовалась равномерная $2 \times 2 \times 2$ -сетка k точек Монкруста–Пака, обрезание по кинетической энергии составляло 500 эВ.

Исследование формирования ближнего порядка в разбавленных твердых растворах Fe–Si в зависимости от температуры и концентрации кремния проводилось прямым моделированием сплава методом Метрополис Монте-Карло (MMC) [46] с рассчитанными *ab initio* параметрами межатомных взаимодействий. Энергия сплава определялась в кластерном приближении с учетом вклада парных, трех- и четырехчастичных эффективных межатомных взаимодействий. При этом принимались во внимание конфигурации атомов кремния, расположенных не далее 11-й координационной сферы друг от друга. Моделирование проводилось для кристаллита размером $20 \times 20 \times 20 (\times 2)$ (всего 16000 атомов) с периодическими граничными условиями. Использовался алгоритм Метрополиса и проводился прямой обмен атомами, независимо от расстояния между ними; такой подход не в состоянии описать ранние стадии и кинетику превращения, однако позволяет получить

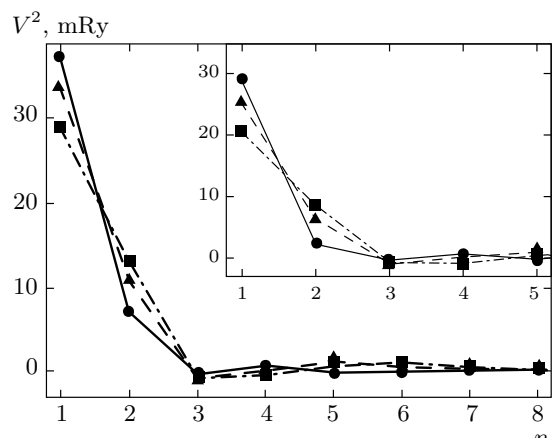


Рис. 5. Химический вклад в энергию эффективного парного взаимодействия между атомами кремния в зависимости от номера координационной сферы n для различных магнитных состояний ОЦК-железа: $m = 0$ (●), $m = 0.8$ (▲), $m = 1$ (■). На вставке приведена энергия эффективного парного взаимодействия с учетом атомной релаксации

равновесное состояние сплава существенно быстрее, чем в схеме с обменом ближайшими соседями.

3.2. Энергия эффективного взаимодействия атомов кремния

На рис. 5 представлены энергии эффективных парных взаимодействий $V(R_n)$, рассчитанные SGPM-методом для различных магнитных состояний, различающихся величиной полного магнитного момента. Значения m , равные 1.0, 0, 0.8, соответствуют ферромагнитному, парамагнитному (в приближении DLM) и частично магнитно-разупорядоченному состояниям с величиной полного магнитного момента, составляющей 0.8 от максимального значения. Как видно на рис. 5, для всех магнитных состояний взаимодействие является короткодействующим (практически ограничено двумя координационными сферами) и соответствует эффективному отталкиванию между атомами кремния. Переход к парамагнитному состоянию сопровождается уменьшением энергии взаимодействия вторых Si–Si-соседей, в то время как энергия взаимодействия первых соседей растет.

Кроме эффективных парных взаимодействий были рассчитаны трех- и четырехчастичные взаимодействия. Их энергия составила менее 10 % от вклада парных взаимодействий в энергию соответствующих кластеров. Поэтому влиянием многочастич-

Таблица 2. Энергия деформационного взаимодействия $\Delta V_d(R_n)$ между атомами кремния для различных координационных сфер (КС) в ферромагнитном ОЦК-железе

КС	$\Delta V_d^{(n)}$, mRy
1	-8.16
2	-4.41
3	+0.15
4	-0.33
5	0

ных взаимодействий на образование ближнего порядка в разбавленных твердых растворах Fe–Si можно пренебречь. В то же время их вклад становится существенным при увеличении содержания кремния. Так, вклад трех- и четырехчастичных взаимодействий в энергию упорядочения для структуры DO₃ составляет около 35 %. При этом различие между энергиями упорядочения в ферромагнитном состоянии, полученными в SGPM-приближении и путем прямого расчета LSGF-методом, не превышало 0.7 mRy, что свидетельствует о надежности рассчитанных эффективных кластерных взаимодействий.

Результаты расчета энергии деформационного взаимодействия $\Delta V_d(R_n)$ атомов кремния на расстоянии R_n методом PAW–VASP для ΔV_d (ферромагнитного состояния матрицы ОЦК-железа) приведены в табл. 2. Видно, что учет релаксации приводит к существенному понижению энергии парного взаимодействия (примерно на 30 %) для первой и второй координационных сфер. Для парамагнитного DLM-состояния при прямом расчете энергии R_n необходимо обеспечить сохранение направления и величины магнитных моментов в большом кристаллите, что трудно реализовать в рамках PAW–VASP-подхода. Можно, однако, полагать, что величина $\Delta V_d^{(n)}$ малочувствительна к изменению магнитного состояния железа, поскольку структурная релаксация контролируется гибридизацией p -орбитали кремния и d -орбитали железа, которая слабо меняет плотность электронных состояний, ответственных за магнитное поведение железа вблизи уровня Ферми. Поэтому далее мы принимаем одно и то же значение энергии деформационного взаимодействия $\Delta V_d(R_n)$ для различных магнитных состояний матрицы, полученное для ферромагнитного состояния.

Энергия эффективных парных взаимодействий с учетом атомной релаксации $V_{tot} = V + \Delta V_d$ показана на вставке рис. 5. Видно, что при переходе в парамагнитное состояние энергия взаимодействия V_{tot} существенно понижается для вторых соседей, возрастает для первых соседей и мало изменяется в остальных случаях. В результате, следует ожидать, что формирующийся в сплаве Fe–Si порядок в расположении атомов кремния в ферромагнитном и парамагнитном состояниях будет качественно различен.

3.3. Монте-Карло-моделирование ближнего порядка в сплаве Fe–Si

Моделирование сплава проводилось методом Метрополис Монте-Карло для различных температур $T = 0\text{--}900^\circ\text{C}$ с использованием параметров эффективных кластерных взаимодействий, соответствующих магнитному состоянию матрицы $\alpha\text{-Fe}$ при данной температуре в интервале значений концентраций $c_{\text{Si}} = 6\text{--}10$ ат. %. Для каждого полученного в результате моделирования распределения атомов вычислялась корреляционная функция P_n^{BB} , определяющая вероятность нахождения атома B в n -й координационной сфере другого атома B, а также параметр ближнего порядка Уоррена–Каули [47]

$$\alpha_n^{WC} = 1 - \frac{P_n^{AB}}{c_B}, \quad (1)$$

где P_n^{AB} — условная вероятность обнаружения атома сорта B в узле n -й координационной сферы при условии, что в центре рассматриваемой координационной сферы находится атом сорта A, c_B — концентрация атомов сорта B в данном сплаве. Величина α_n^{WC} равна нулю для полностью неупорядоченного расположения атомов, а положительные или отрицательные значения характеризуют склонность сплава соответственно к распаду или образованию упорядоченного состояния.

Полученная в результате Монте-Карло-моделирования вероятность появления Si–Si-соседей P_n^{SiSi} на расстоянии R_n представлена на рис. 6 для температур ниже (a) и выше (б) температуры Кюри T_C . Видно, что при $T < T_C$ атомы кремния избегают находиться в позициях первых и вторых соседей, а наиболее предпочтительными являются конфигурации третьих и четвертых соседей, для которых энергия взаимодействия $\tilde{V}(R_n)$ минимальна (рис. 5). С ростом n величина P_n^{SiSi} стремится к значению средней концентрации c_{Si} в сплаве. Вероятность появления третьих и четвертых Si–Si-соседей оказалась

значительной даже при малом содержании кремния и растет с увеличением концентрации. Так, при содержании кремния 4 ат. % относительное превышение P_3^{SiSi} над средней концентрацией c_{Si} составляет 25 %, а при $c_{\text{Si}} = 10$ ат. % — около 50 % (рис. 6a). Формирующийся в ферромагнитном состоянии ближний порядок с преобладанием третьих Si–Si-соседей характерен для сверхструктуры DO_3 . Кроме того, существенную долю составляют конфигурации, в которых атомы кремния находятся друг относительно друга в положении четвертых соседей. Увеличение доли пар атомов Si–Si, являющихся четвертыми соседями друг друга, действительно наблюдается в сплаве железа с содержанием кремния 8 ат. % после отжига при $T = 450^\circ\text{C}$ [28].

Для температур $T > T_C$ картина кардинально меняется (рис. 6б). При $c_{\text{Si}} < 6$ ат. % распределение атомов кремния близко к случайному ($P_n^{\text{SiSi}} \approx c_{\text{Si}}$ при $n > 1$), а при увеличении содержания кремния предпочтительными становятся конфигурации, в которых атомы кремния находятся в положениях вторых, третьих и пятых соседей. При этом относительное превышение P_n^{SiSi} над средней концентрацией c_{Si} невелико (около $c_{\text{Si}} = 30$ % при $c_{\text{Si}} = 10$ ат. %). Формирующийся при $T > T_C$ ближний порядок отвечает сверхструктуре B2, для которой характерно расположение атомов кремния в положении 2, 3, 5, 6, 8, 9-х и т. д. соседей.

Таким образом, результаты Монте-Карло-моделирования с рассчитанными взаимодействиями показывают, что ближний порядок в сплаве Fe–Si качественно изменяется с ростом температуры (рис. 7). Основной причиной этого является зависимость эффективной энергии взаимодействия от магнитного состояния матрицы ОЦК-железа. В результате, ближний порядок DO_3 -типа, отвечающий ферромагнитному состоянию, сменяется на ближний порядок B2-типа при повышении температуры и переходе в парамагнитное состояние.

Для появления пар вторых соседей и реализации ближнего порядка B2-типа при $T > T_C$ требуется достаточно большая концентрация кремния, при которой большинство позиций, соответствующих более далеким Si–Si-соседствам, заполнены. Согласно результатам наших расчетов ближний порядок B2-типа формируется в интервале концентраций 8–10 ат. % кремния. При повышении содержания кремния до значений 15 ат. % $< c_{\text{Si}} < 30$ ат. % ближний порядок переходит в дальний, соответствующий сверхструктурам B2 (при $T > T_C$) или DO_3 (при $T < T_C$). В этом случае величина P_n^{SiSi} близка к единице для значений n , отвечающих заполнению

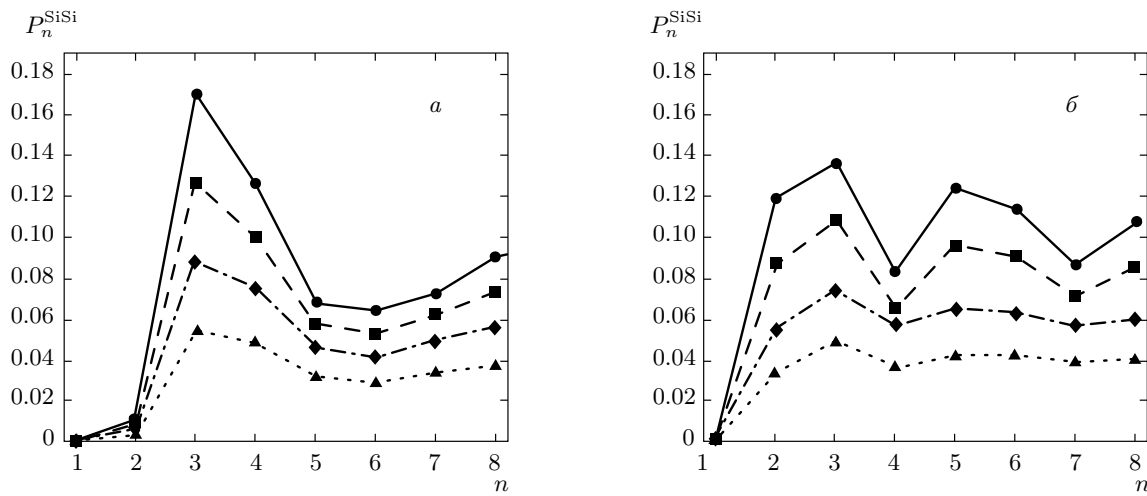


Рис. 6. Корреляционная функция P_n^{SiSi} в зависимости от номера координационной сферы n при температурах 300°C (a) и 900°C (b) для различных концентраций кремния: 4 ат. % (\blacktriangle), 6 ат. % (\blacklozenge), 8 ат. % (\blacksquare), 10 ат. % (\bullet)

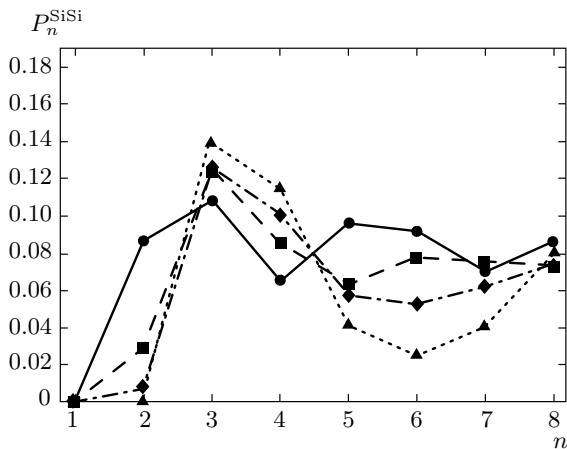


Рис. 7. Вероятность P_n^{SiSi} нахождения атома кремния в n -й координационной сфере от данного атома кремния в сплаве железа с содержанием кремния 8 ат. % для различных значений температуры: 0°C (\blacktriangle), 300°C (\blacklozenge), 600°C (\blacksquare), 900°C (\bullet)

атомами кремния координационных сфер для соответствующих сверхструктур.

На рис. 8 представлены профили диффузного рассеяния вдоль заданного направления вектора \mathbf{k} , рассчитанные по формуле [18]

$$J(\mathbf{k}) \sim c(1 - c) \left(1 + \sum_n Z_n \alpha_n^{WC} \cos(\mathbf{k} \cdot \mathbf{R}_n) \right) \quad (2)$$

с использованием параметров Уорена–Каули (1), полученных в результате моделирования Мон-

те–Карло. Отметим, что в выражении (2) не учитываются локальные деформации ОЦК-решетки вблизи примесных атомов и затухание интенсивности рассеяния, связанное с тепловыми колебаниями атомов. Как для парамагнитного ($T > T_C$), так и для ферромагнитного ($T < T_C$) состояний в направлении $\mathbf{k} \parallel \langle 100 \rangle$ получены сверхструктурные пики с индексами (100) , (300) , которые при пониженных температурах $T < T_C$ (рис. 8a) становятся менее интенсивными, но более широкими. В направлении $\mathbf{k} \parallel \langle 111 \rangle$ в парамагнитном состоянии ($T > T_C$) доминирует сверхструктурный пик (111) , который в сочетании с другими пиками с нечетной суммой индексов $(h+k+l)$ соответствует ближнему порядку B2-типа. В ферромагнитном состоянии ($T < T_C$) его интенсивность уменьшается. В то же время формируются пики с полуцелыми индексами, характерные для сверхструктуры DO₃ (рис. 8b). Дополнительные особенности на кривых зависимости $J(\mathbf{k})$ обусловлены вкладом пар четвертых (и более удаленных) соседей Si–Si, который в расчете без учета затухания существенно переоценен. Тем не менее, представленная на рис. 8 картина правильно воспроизводит основные черты экспериментально наблюдаемого диффузного рассеяния в сплаве Fe–Si (разд. 2).

Полученные результаты позволяют понять, почему на равновесной диаграмме состояний [11] фаза DO₃ сменяется на B2 при повышении температуры выше точки Кюри. Для объяснения наблюдавшегося при $T < T_C$ ближнего порядка B2-типа следует предположить, что атомные кластеры, включаю-

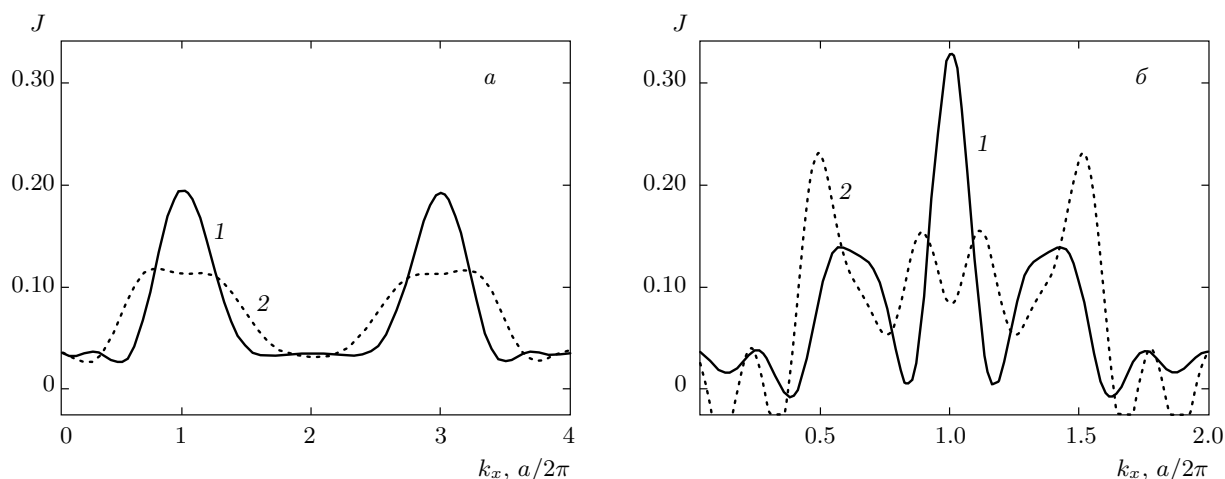


Рис. 8. Интенсивности диффузного рассеяния от модельного твердого раствора Fe–Si при $c_{\text{Si}} = 8$ ат. %, рассчитанные вдоль направлений $\langle 100 \rangle$ (а) и $\langle 111 \rangle$ (б). Кривые 1 и 2 относятся соответственно к парамагнитному ($T = 900$ °C) и ферромагнитному ($T = 300$ °C) состояниям

щие Si–Si-пары вторых соседей, формируются при высоких температурах и сохраняются при быстром охлаждении. Изменение ближнего порядка в сплавах с содержанием кремния 5–8 ат. % после отжига при $T = 450$ °C (рис. 3, 4) указывает на то, что разрушение таких конфигураций при охлаждении не происходит спонтанно, а развивается в процессе выдержки. Возможные причины устойчивости конфигураций, содержащих Si–Si-пары вторых соседей, рассматриваются в следующем разделе.

3.4. Образование комплексов кремний–вакансия и перестройка ближнего порядка B2 в DO_3 при отжиге

Изменение ближнего порядка B2 на DO_3 , которое наблюдается при отжиге закаленных образцов, требует перестройки Si–Si-пар вторых соседей в положение третьих соседей. Согласно результатам наших расчетов, такой процесс сопровождается понижением энергии. Однако он не может произойти спонтанно, поскольку включает диффузионное перемещение атомов, осуществляющее с участием вакансий. Поэтому для выяснения кинетики преобразования ближнего порядка B2 в DO_3 необходимо знать энергию связи (2Si+V)-комплексов, состоящих из двух атомов кремния и вакансии и имеющих конфигурации, отвечающие возможным путям перестройки Si–Si-пар вторых соседей в третьи.

Энергия связи вакансии с парой атомов крем-

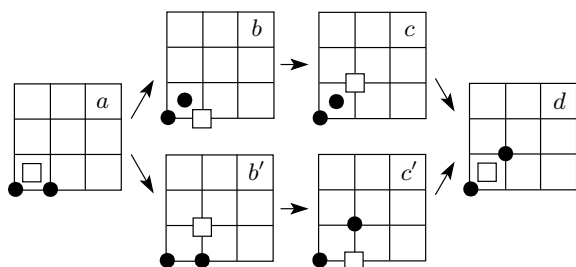


Рис. 9. Конфигурации атомов кремния и вакансии, иллюстрирующие механизм перестройки ближнего порядка $\text{B}2 \rightarrow \text{DO}_3$. Показана проекция на плоскость $\{100\}$, где черными кружками обозначены атомы кремния, светлым квадратом — вакансия, атомы железа располагаются в остальных узлах сетки. Вариант $a-b-c-d$ включает образование первых Si–Si-соседей в качестве промежуточного шага, вариант $a-b'-c'-d$ — перемещение вакансии из положения первых соседей в соседнюю свободную позицию

ния в (2Si+V)-комплексе, $\Delta E_{2\text{Si}+\text{V}}$, определялась как разность

$$\Delta E_{2\text{Si}+\text{V}} = E(2\text{Si}+\text{V}) - E(2\text{Si};\text{V}), \quad (3)$$

где $E(2\text{Si}+\text{V})$ — энергия кристаллита, содержащего (2Si+V)-комплекс, $E(2\text{Si};\text{V})$ — энергия кристаллита, содержащего два атома кремния в положении вторых соседей и вакансии на расстоянии, максимально удаленном от атомов кремния. Расчеты энергий были проведены LSGF-методом для ферромагнитно-

Таблица 3. Координаты атомов и энергии связи комплекса $2\text{Si}+\text{V}$

	Si ₁	Si ₂	V	$\Delta E_{2\text{Si}+\text{V}}$, mRy
a	[000]	[100]	[0.5, 0.5, 0.5]	-32.0
b	[000]	[0.5, 0.5, 0.5]	[100]	-8.4
c	[000]	[0.5, 0.5, 0.5]	[110]	3.6
d	[000]	[110]	[0.5, 0.5, 0.5]	-44.7
b'	[000]	[100]	[110]	-4.9
c'	[000]	[110]	[100]	-27.1

го состояния ОЦК-железа. Для используемой в расчетах $6 \times 6 \times 6 (\times 2)$ сверхячейки максимальное расстояние между вакансией и атомами кремния составляло около $5a$ (a — параметр решетки ОЦК-железа), так что вакансию и Si–Si-пару в этом положении можно считать независимыми. Конфигурации пары атомов кремния и вакансии, возникающие в процессе перестройки ближнего порядка $\text{B}2 \rightarrow \text{DO}_3$, показаны на рис. 9, а соответствующие энергии $\Delta E_{2\text{Si}+\text{V}}$ приведены в табл. 3. Полученные значения $\Delta E_{2\text{Si}+\text{V}}$ не учитывают вклада атомной релаксации, которая может быть значительной вблизи вакансии. Тем не менее, поскольку атомные радиусы кремния и железа весьма близки, так что искажения решетки вблизи атома кремния малы, можно ожидать, что химический вклад в Si–V-взаимодействие является доминирующим. Поэтому соотношение между рассчитанными величинами дает правильную оценку изменения энергии при перестройке $(2\text{Si}+\text{V})$ -комплекса.

Расчеты показали, что образование $(2\text{Si}+\text{V})$ -комплекса, состоящего из атомов кремния в положении вторых соседей и вакансии в первой координационной сфере каждого из атомов кремния (конфигурация a, рис. 9), сопровождается значительным выигрышем в энергии (табл. 3). Поэтому такая конфигурация рассматривалась в качестве начальной для перестройки ближнего порядка $\text{B}2$ в DO_3 . Верхний ряд на рис. 9 соответствует процессу перестройки, включающему образование Si–Si-пар первых соседей на промежуточном шаге, нижний ряд — преобразованию путем перемещения вакансии из положения первых соседей в соседнюю свободную позицию.

Как следует из табл. 3, для обоих вариантов образование промежуточной конфигурации (b, c или b', c') приводит к повышению энергии. В результате

те, для перестройки $(2\text{Si}+\text{V})$ -комплекса требуется преодоление значительного барьера; его величина составляет 35 и 27 mRy (или 0.48 и 0.37 эВ) соответственно для первого и второго варианта. Таким образом, пары атомов кремния в положении вторых соседей, которые формируются в ферромагнитном состоянии, будут сохраняться и при охлаждении в область температур $T < T_C$, поскольку их диффузионная перестройка включает скачок вакансии, сопровождающийся значительным увеличением энергии. В результате, энергия миграции вакансии увеличивается примерно на 50 % по сравнению с чистым ОЦК-железом. Поэтому перестройка ближнего порядка $\text{B}2$ в DO_3 не происходит спонтанно, а требует термической активации и развивается постепенно в процессе отжига при $T < T_C$.

4. ЗАКЛЮЧЕНИЕ

Проведенное комплексное теоретическое и экспериментальное исследование позволило выявить механизмы и условия формирования ближнего порядка в твердом растворе $\text{Fe}_{1-x}\text{Si}_x$. Методами рентгеновской дифракции и мессбауэровской спектроскопии обнаружены области ближнего порядка $\text{B}2$ - или DO_3 -типа при концентрации кремния, приближающейся к границе двухфазной области (5–8 ат. %). При этом в закаленном от $T = 850^\circ\text{C}$ сплаве ($c_{\text{Si}} = 8$ ат. %) в диффузном рассеянии доминирует вклад областей с ближним порядком $\text{B}2$, а отжиг при $T = 450^\circ\text{C}$ увеличивает долю областей с ближним порядком DO_3 . Эти результаты позволяют заключить, что локальное упорядочение $\text{B}2$ -типа формируется при высоких температурах (выше точки Кюри сплава T_C) и фиксируется при охлаждении. При низкотемпературном отжиге (ниже T_C) формируются небольшие области с DO_3 -упорядочением, размеры и объемная доля которых увеличиваются с повышением концентрации кремния.

В согласии с результатами предыдущих расчетов [10], мы нашли, что в ферромагнитном ОЦК-железе сближение атомов кремния до положения первых или вторых соседей сопровождается значительным увеличением энергии. Это согласуется с широкой областью растворимости кремния в железе и указывает на то, что наблюдаемый ближний порядок не связан, как это предполагается в работах [4, 5], с образованием пар атомов кремния в процессе отжига при $T < T_C$. Результаты Монте-Карло-моделирования позволяют заключить, что при повышении концентрации кремния в ферромагнитном состоянии формируется ближний порядок типа DO_3 .

Важной особенностью, обнаруженной в данной работе, оказалось существенное изменение эффективных Si–Si-взаимодействий при переходе из ферромагнитного в парамагнитное состояние. При этом происходит понижение энергий парных взаимодействий между атомами кремния, так что предпочтительным становится формирование ближнего порядка B2-типа. Образующиеся в парамагнитном состоянии, характерные для ближнего порядка B2-типа, пары вторых соседей атомов кремния сохраняются при охлаждении, благодаря образованию ими устойчивого комплекса с вакансией, препятствующего их диссоциации диффузионным путем. Таким образом, магнетизм играет определяющую роль в формировании ближнего порядка в сплаве Fe–Si; ближний порядок B2-типа формируется в парамагнитном состоянии и фиксируется при охлаждении, в то время как в ферромагнитном состоянии равновесным является ближний порядок D₀₃-типа.

Полученные результаты обосновывают представления работ [4, 5] о том, что наведенная магнитная анизотропия в сплавах Fe–Si обусловлена наличием Si–Si-пар и их упорядочением в магнитном поле или под внешней нагрузкой. Однако эти пары появляются не в процессе отжига при $T < T_C$, а наследуются при охлаждении из парамагнитного состояния.

Работа выполнена при частичной финансовой поддержке РФФИ (гранты № 10-02-100435) и Президиума Уро РАН (проект 09-П-2-1035).

ЛИТЕРАТУРА

1. Р. Бозорт, *Ферромагнетизм*, Изд-во иностр. лит., Москва (1956).
2. Y. Yoshizawa, S. Oguma, and K. Yamauchi, *J. Appl. Phys.* **64**, 6044 (1988).
3. G. Herzer, *J. Magn. Magn. Mat.* **112**, 258 (1992).
4. L. Neel, *J. Phys. Radiat.* **15**, 225 (1954).
5. S. Taniguchi and M. Yamamoto, *Sci. Rep. RITU A6*, 330 (1954).
6. D. Mainhardt and O. Krisement, *Arch. Eisenhüttenwesen* **36**, 293 (1965).
7. Yu. P. Chernenkov, V. I. Fedorov, V. A. Lukshina, B. K. Sokolov, and N. V. Ershov, *Phys. Met. Metallogr.* **92**, 193 (2001).
8. Yu. P. Chernenkov, V. I. Fedorov, V. A. Lukshina, B. K. Sokolov, and N. V. Ershov, *J. Magn. Magn. Mat.* **254–255**, 346 (2003).
9. N. V. Ershov, V. A. Lukshina, B. K. Sokolov, Yu. P. Chernenkov, and V. I. Fedorov, *Physica B* **372**, 152 (2006).
10. A. P. Кузнецов, Ю. Н. Горностырев, Н. В. Ершов, В. А. Лукшина, Ю. П. Черненков, В. И. Федоров, *ФТТ* **49**, 2184 (2007).
11. O. Kubaschewski, *Phase Diagrams of Binary Fe-Based Systems*, Springer-Verlag, Berlin-Heidelberg and Verlag Stahleisen GmbH, Düsseldorf (1982), p. 135.
12. Y. Ustinovshikov and I. Sapegina, *J. Mater. Sci.* **39**, 1007 (2004).
13. K. Hilfrich, W. Kölker, W. Petry, O. Schärfp, and E. Nembauch, *Z. Metallkunde* **84**, 255 (1993).
14. K. Hilfrich, W. Kölker, W. Petry, O. Schärfp, and E. Nembauch, *Acta Metal. Mater.* **42**, 743 (1994).
15. D. Ruiz, T. Ros-Yanez, L. Vandenbossche, L. Dupre, R. E. Vandenberghe, and Y. Houbaer, *J. Magn. Magn. Mat.* **290–291**, 1423 (2005).
16. Н. В. Ершов, Н. М. Клейнерман, В. А. Лукшина, В. П. Пилигин, В. В. Сериков, *ФТТ* **51**, 1165 (2009).
17. Н. В. Ершов, Ю. П. Черненков, В. А. Лукшина, В. И. Федоров, *ФТТ* **51**, 417 (2009).
18. А. Г. Хачатуян, *Теория фазовых превращений и структура твердых растворов*, Наука, Москва (1974).
19. J. Kudrnovsky, N. E. Christensen, and O. K. Andersen, *Phys. Rev. B* **43**, 5924 (1991).
20. E. G. Moroni, W. Wolf, J. Hafner, and R. Podloucky, *Phys. Rev. B* **59**, 12860 (1999).
21. N. I. Kulikov, D. Fristot, J. Hugel, and A. V. Postnikov, *Phys. Rev. B* **66**, 014206 (2002).
22. A. K. Arzhnikov and L. V. Dobysheva, *Phys. Rev. B* **62**, 5324 (2000).
23. Н. В. Ершов, А. К. Аржников, Л. В. Добышева, Ю. П. Черненков, В. И. Федоров, В. А. Лукшина, *ФТТ* **49**, 64 (2007).
24. *Binary Alloy Phase Diagrams*, ed. by T. B. Massalski, ASM International, Ohio (1990), Vol. 2, p. 1792.
25. С. В. Вонсовский, *Магнетизм. Магнитные свойства диа-, пара-, ферро-, антиферро- и ферримагнетиков*, Наука, Москва (1971).
26. Ю. П. Черненков, В. И. Федоров, В. А. Лукшина, Б. К. Соколов, Н. В. Ершов, *ФММ* **100**, 39 (2005).

- 27.** B. E. Warren, *X-ray Diffraction*, Addison-Wesley, New York (1969).
- 28.** B. B. Сериков, Н. М. Клейнерман, В. А. Лукшина, Н. В. Ершов, ФТТ **52**, 316 (2010).
- 29.** P. Hohenberg and W. Kohn, Phys. Rev. **136**, B864 (1964); W. Kohn and L. J. Sham, Phys. Rev. **140**, A1133 (1965).
- 30.** P. Soven, Phys. Rev. **156**, 809 (1967); D. W. Taylor, Phys. Rev. **156**, 1017 (1967); S. Kirkpatrick, B. Velicky, and H. Erenreich, Phys. Rev. B **1**, 3250 (1970).
- 31.** J. Korringa, Physica **13**, 392 (1947); W. Kohn and N. Rostoker, Phys. Rev. **94**, 1111 (1954).
- 32.** B. L. Gyorffy and G. M. Stocks, *Electrons in Disordered Metals and at Metallic Surfaces*, ed. by P. Phariseau, B. L. Gyorffy, and L. Scheire, Plenum, New York (1978); D. D. Johnson, D. M. Nicholson, F. J. Pinski, B. L. Gyorffy, and G. M. Stocks, Phys. Rev. Lett. **56**, 2088 (1986); D. D. Johnson, D. M. Nicholson, F. J. Pinski, B. L. Gyorffy, and G. M. Stocks, Phys. Rev. B **41**, 9701 (1990).
- 33.** J. P. Perdew, K. Burke, and M. Ernzerhof, Phys. Rev. Lett. **77**, 3865 (1996).
- 34.** H. L. Skriver and N. M. Rosengaard, Phys. Rev. B **43**, 9538 (1991).
- 35.** A. V. Ruban and I. A. Abrikosov, Rep. Progr. Phys. **71**, 046501 (2008).
- 36.** A. V. Ruban, S. Shallcross, S. I. Simak, and H. L. Skriver, Phys. Rev. B **70**, 125115 (2004).
- 37.** F. Ducastelle and F. Gautier, J. Phys. F.: Met. Phys. **6**, 2039 (1976); P. E. A. Turchi, G. M. Stocks, W. H. Butler, D. M. Nicholson, and A. Gonis, Phys. Rev. B **37**, 5982 (1988); P. P. Singh and A. Gonis, Phys. Rev. B **47**, 6744 (1993).
- 38.** A. V. Ruban and H. L. Skriver, Phys. Rev. B **66**, 024201 (2002); A. V. Ruban, S. I. Simak, P. A. Korzhavyi, and H. L. Skriver, Phys. Rev. B **66**, 024202 (2002).
- 39.** I. A. Abrikosov, A. M. N. Niklasson, S. I. Simak et al., Phys. Rev. Lett. **76**, 4203 (1996); I. A. Abrikosov, S. I. Simak, B. Johansson, A. V. Ruban, and H. L. Skriver, Phys. Rev. B **56**, 9319 (1997).
- 40.** B. L. Gyorffy, A. J. Pindor, J. B. Stauton, G. M. Stocks, and H. Winter, J. Phys. F **15**, 1337 (1985); J. B. Stauton and B. L. Gyorffy, Phys. Rev. Lett. **69**, 371 (1992).
- 41.** P. T. Blochl, Phys. Rev. B **50**, 17953 (1994).
- 42.** G. Kresse and J. Furthmüller, Phys. Rev. B **54**, 11169 (1996).
- 43.** G. Kresse and J. Hafner, J. Phys.: Condens. Matter **6**, 8245 (1994).
- 44.** G. Kresse and J. Joubert, Phys. Rev. B **59**, 1758 (1999).
- 45.** S. H. Vosko, L. Wilk, and M. Nusair, Canad. J. Phys. **58**, 1200 (1980).
- 46.** K. Binder, *Applications of the Monte Carlo Method in Statistical Physics*, Springer, Berlin (1984).
- 47.** J. M. Cowley, Phys. Rev. **77**, 669 (1950); J. M. Cowley, Phys. Rev. **120**, 1648 (1960).